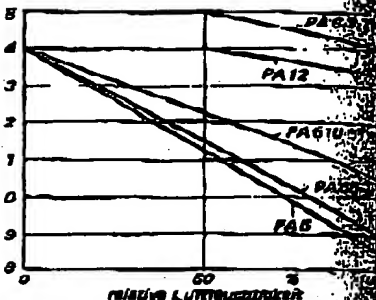


PC



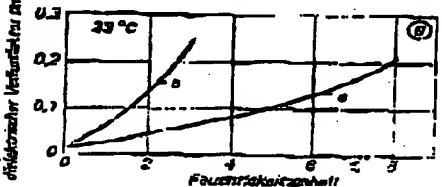
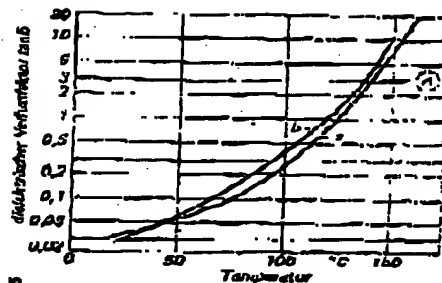
142. Spezifischer Durchgangswiderstand von Polyamiden in Abhängigkeit von der Luftfeuchtigkeit nach Erreichen des Gleichgewichts (Temperatur: 23°C).

n Laufe der Zeit auch durch W...

et sich PA durch eine hohe Kristallinität aus. Der Flächenwiderstand liegt bei einem hohen Feuchtigkeitsgehalt in einem Bereich...

143. Dielektrizitätszahl von Polyamid in Abhängigkeit von der Temperatur (A) und vom Feuchtigkeitsgehalt (B) (Frequenz 100 Hz)
 a PA 66 Zytel 101, Du Pont de Nemours (US)
 b PA 612 Zytel 151, Du Pont de Nemours (US).

Bild 344. Dielektrischer Verlustfaktor tan δ von Polyamid in Abhängigkeit von der Temperatur (A) und vom Feuchtigkeitsgehalt (B) (Frequenz 100 Hz)
 a PA 66 Zytel 101, Du Pont de Nemours (US)
 b PA 612 Zytel 151, Du Pont de Nemours (US).



reich, in dem sich keine Staubfiguren als Folge elektrostatischer Aufladung mehr bilden. Die dielektrischen Eigenschaften sind in hohem Maße von der Temperatur und vom Feuchtigkeitsgehalt abhängig, wie die Bilder 343 und 344 am Beispiel eines PA 66 und PA 612 zeigen. PA 6-3-T verhält sich in dieser Hinsicht günstiger. Für Anwendungen, bei denen eine Beurteilung des elektrolytischen Korrosionsverhaltens erforderlich ist, sollte im Einzelfall nach DIN 53489 (01.68) geprüft werden. Nach den vorliegenden Erfahrungen soll ein Grenzwert von AN 1,4 nicht überschritten werden.

Optische Eigenschaften

Formteile aus kristallisierenden Polyamiden sind je nach Schichtdicke, Herstellbedingungen und verwendeter Formmasse hell-durchscheinend bis opak. Beim Spritzgießen mit niedriger Werkzeugtemperatur können aus bestimmten Typen bis 1,5 mm Wanddicke transparente Formteile hergestellt werden, Bild 345. Son-

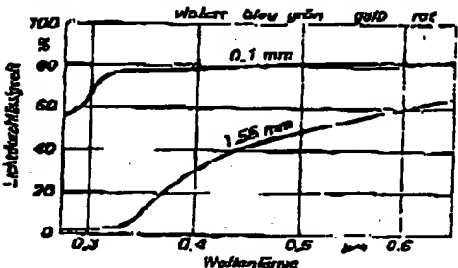


Bild 345. Spektrale Durchlässigkeit von PA 66 im Bereich der UV- und sichtbaren Strahlung bei verschiedenen Wanddicken (Quelle: Du Pont de Nemours).